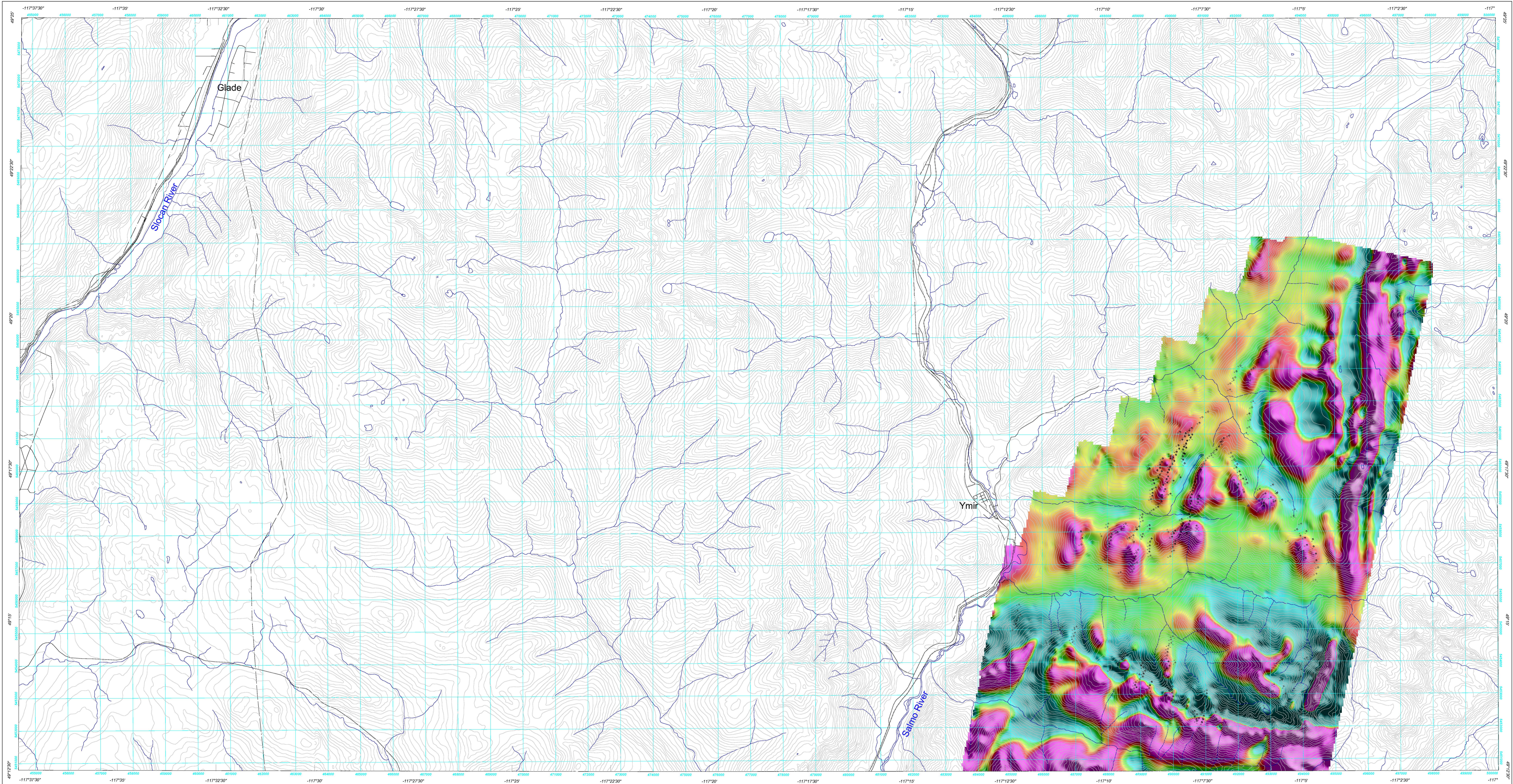


GEOPHYSICAL SERIES / PREMIÈRE DÉRIVÉE VERTICALE DU CHAMP MAGNÉTIQUE



This airborne geophysical survey and the production of this map were funded by Geoscience BC, Natural Resources Canada's Technology and Innovation Program and the British Columbia TGS-3 Coalfield Project and is a contribution to the TGS-3 Coalfield Project. The map was produced as part of the British Columbia TGS-3 Coalfield Project and is a contribution to the TGS-3 Coalfield Project. The map was produced as part of the British Columbia TGS-3 Coalfield Project and is a contribution to the TGS-3 Coalfield Project.

Within deep valleys, the height above ground of the transmitter may exceed 500 metres. No conductors have been detected beyond this distance. These areas with the transmitter height greater than 500 metres are greyed on the GSC Open File map 6199 through 6197.

FIRST VERTICAL DERIVATIVE OF THE MAGNETIC FIELD / PREMIÈRE DÉRIVÉE VERTICALE DU CHAMP MAGNÉTIQUE

GSC OPEN FILE 6199 / DOSSIER PUBLIC 6199 DE LA CGC

Author: R. Dumont
Data acquisition, compilation and map production by Fugro Airborne Surveys, Ottawa, Ontario. Contract and project management by the Geological Survey of Canada, Ottawa, Ontario

HEIGEOTEEM® SURVEY OF KOOTENAY ARC / LEVÉ HEIGEOTEEM® DE KOOTENAY ARC
Parts of NTS / Parties des SNRC
82 F/3, 82 F/4, 82 F/5, 82 F/6
BRITISH COLUMBIA / COLOMBIE-BRITANNIQUE

Auteur: R. Dumont
L'acquisition, la compilation des données ainsi que la production des cartes furent effectuées par Fugro Airborne Surveys, Ottawa, Ontario. La gestion et la supervision du projet furent effectuées par la Commission géologique du Canada, Ottawa, Ontario.



Scale 1:50 000 - Échelle 1/50 000

Universal Transverse Mercator Projection / Projection transversale universelle de Mercator

Map datum: NAD83 / Datum de la carte: NAD83

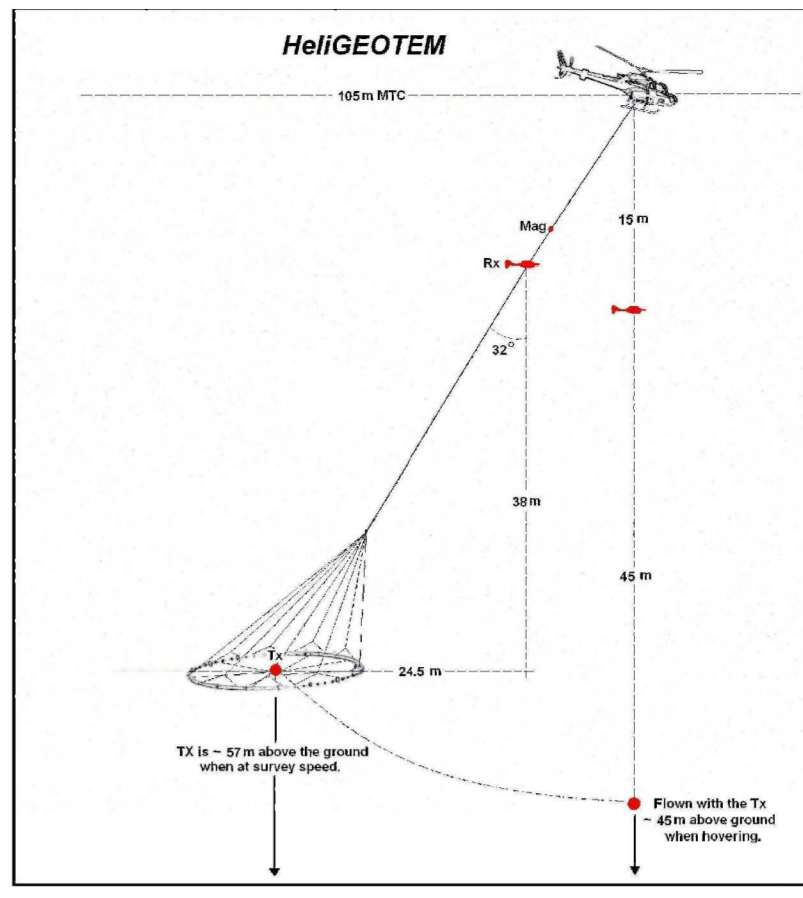
Digital Topographic Data provided by Geomatics Canada, Natural Resources Canada / Données topographiques numérisées par Géomatique Canada, Ressources naturelles Canada

Dans les vallées profondes, la hauteur du transmetteur au-dessus du sol peut excéder 500 mètres. Aucun conducteur n'a été détecté au-delà de cette distance. Ces régions au-dessus de la hauteur du transmetteur excédant 500 mètres sont représentées en gris sur les dossiers publics 6194 à 6197 de la CGC.

Auteur: R. Dumont
L'acquisition, la compilation des données ainsi que la production des cartes furent effectuées par Fugro Airborne Surveys, Ottawa, Ontario. La gestion et la supervision du projet furent effectuées par la Commission géologique du Canada, Ottawa, Ontario.

Digital versions of this map can be downloaded, at no charge, from Natural Resources Canada's Geoscience Data Repository (MRAS) at <http://www.mras.ca>. Corresponding digital profiles and gridded data are available from Natural Resources Canada's Geoscience Data Repository for aerogeophysical data at <http://www.mras.ca>. The same products are also available from the Geophysical Data Centre, Geological Survey of Canada, 615 Booth Street, Ottawa, Ontario, K1A 0E5. Telephone: (613) 965-5326, email: info@gsg.mcg.ca.

OPEN FILE DOSSIER PUBLIC 6199
GEOLOGICAL SURVEY OF CANADA / COMMISSION GÉOLOGIQUE DU CANADA 2010



INTRODUCTION
This map was compiled from data acquired during an airborne electromagnetic survey carried out by FUGRO AIRBORNE SURVEYS using a HeiGeOTEEM® time domain electromagnetic (EM) system. The system was flown below an AS350 - B3 (registration C-FIDA) helicopter. The survey was carried out from October 18, 2008 to March 10, 2009.

The traverse-lines were spaced 200 m and control-lines were 1000 m apart. Over the two areas held by industry partners the traverse line spacing was reduced to 100 m. The aircraft flight-elevation was controlled by a pre-determined drap surface to maintain an optimum speed in order to keep the transmitter loop in a horizontal plane. Navigation was made possible by utilizing a 12-channel Novatel dual frequency GPS receiver and the OmniSTAR differential service to correct position in real-time. Post-flight differential corrections were subsequently applied to determine final flight path position. A vertically mounted video camera was used to record images of the ground. The radar altimeter was recorded ten times per second using a Sperry unit, and the barometric altitude was recorded ten times per second using a Rosemount 1241 M unit. The magnetic data were recorded 10 times per second using a Scripps CS-2 cesium-vapor magnetometer.

The time domain EM system transmits a pulse from a horizontal loop towed below and behind the aircraft, and measures the response of buried conductors using a three axis (X, Y and Z) electromagnetic receiver towed below the aircraft ahead and above the transmitter. The EM system records 20 channels of data four times per second for each of the three components. The EM receiver measures dBdI directly, from which the secondary magnetic field B_s is numerically integrated. The system was operated at 90 Hz.

RESIDUAL MAGNETIC FIELD MAP
The magnetic data were corrected for diurnal variations, levelled to the control lines and interpolated onto a regular 50 metre grid, using the minimum curvature algorithm. The International Geomagnetic Reference Field (IGRF), was removed from the total magnetic field data using the model for the year 2005 extrapolated to 2009.0 and computed for a constant altitude of 1608 metres.

APPARENT CONDUCTANCE
The apparent conductance values were derived from the full 20 channels (on-time and off-time) of the Z coil data, fitted to a thin sheet model. The algorithm first converts the response in every measurement window (on- or off-time) into an apparent conductance. This is performed using a look-up table that contains the response over a range of thin sheet conductance and altimeter heights. The individual channel results are then averaged proportionally to their calculated skin depth.

EM DECAY CONSTANT
The decay constant values were obtained by fitting the amplitude data from the Z-coil channels 08 to 20 (approximately 288 to 2995 us after turn-off) to an exponential function. In semi-log space, the slope of this function will reflect the decay rate of the transient field and therefore the strength of the conductivity. A slow rate of decay, reflecting a high conductivity, will be represented by a high decay constant value.

The computed decay constant values were then interpolated onto a regular 50 metre grid using an Akima spline algorithm. The grid was corrected for system asymmetry to attenuate the line-to-line herringbone pattern common to towed bird, time-domain EM systems from over-flying conductors.

FIRST VERTICAL DERIVATIVE OF THE MAGNETIC FIELD
The first vertical derivative of the magnetic field was calculated by fast Fourier transform on the gridded total magnetic field with a grid cell size of 50 metres.

EM ANOMALIES
The EM anomalies identified on the map correspond to the peak of the measured response measured from the dBdI Z component. The coding of the symbols reflects the number of channels detected above the background (based on the last 12 channels of the off-time period). The reader should be aware that, depending on the altitude of the conductive source, the peak of the anomaly as shown, does not necessarily correspond to the axis of the conductor.

The HeiGeOTEEM® system responds to conductive overburden, near-surface horizontal conductive layers, man-made sources and bedrock conductors. Identification of natural conductors is based on the flight track decay, magnetic correlation and response shape, together with the response pattern and topography. Man-made responses are identifiable by examining the power line monitor and the right track video.

EM SYSTEM PARAMETERS
HeiGeOTEEM®
Frequency (Hz) 90
Peak Dipole Moment (Am²) 0.571 x 10³
Pulse Width (us) 1997
Off Time (us) 3483
Pulse Repetition (s⁻¹) 180

ELECTROMAGNETIC ANOMALY SYMBOLS / SYMBOLES DES ANOMALIES ELECTROMAGNETIQUES

Anomaly / Anomalie	Channels / Canaux
Surficial / Superficielle	1-2
Cultural / Anthropique	3-4
5-6	5-6
7-8	7-8
9-10	9-10
11-12	11-12

Anomaly details / Détails de l'anomalie

Identified as a conductive source / Identifié comme source de conductivité	Type of source not shown / Type de source non illustré
1	1
2	2
3	3
4	4
5	5
6	6
7	7
8	8
9	9
10	10
11	11
12	12

Culture response / Réponse anthropique

Identified as a conductive source / Identifié comme source de conductivité	Type of source not shown / Type de source non illustré
1	1
2	2
3	3
4	4
5	5
6	6
7	7
8	8
9	9
10	10
11	11
12	12

PLANIMETRIC SYMBOLS / SYMBOLES PLANIMÉTRIQUES

Roads / Routes	Routes
Railway / Chemin de fer	Chemin de fer
Power Line / Ligne de transport d'énergie	Ligne de transport d'énergie
Drainage / Drainage	Drainage

NOTES DESCRIPTIVES

INTRODUCTION
Cette carte a été compilée à partir des données acquises pendant un levé électromagnétique-magnétique aéroporté effectué par FUGRO AIRBORNE SURVEYS en utilisant un système électromagnétique (EM) dans le domaine du temps HeiGeOTEEM®. Le système était installé sur un hélicoptère AS350 - B3 (immatriculé C-FIDA). Le levé fut exécuté pendant la période allant du 18 octobre 2008 au 10 mars 2009.

L'espacement des traversées était de 200 m et celui des lignes de contrôle était de 1 000 m. Au-dessus des deux zones appartenant à des partenaires de l'industrie, l'espacement entre les lignes de levé a été réduit à 100 m. La garde au sol de l'hélicoptère fut contrôlée par l'intermédiaire d'une surface d'élévation pré-déterminée pour maintenir une vitesse optimale afin de maintenir la boucle de l'émetteur dans un plan horizontal. La navigation fut effectuée au moyen d'un système GPS Novatel à 12 canaux, bi-fréquences, corrigé en temps réel par le système OmniSTAR. Le plan de vol fut restitué en effectuant les corrections de la station de base GPS après vol. Une caméra vidéo montée verticalement, fut utilisée pour enregistrer des images de l'altitude mesurée par un radar Sperry fut enregistrée à une fréquence de 10 et l'altitude barométrique, fut aussi enregistrée à 10 Hz en utilisant un baromètre Rosemount 1241 M. Les données magnétiques furent enregistrées à une fréquence de 10 Hz en utilisant un magnétomètre à vapeur de césium modèle Scripps CS-2.

Le système EM, opérant dans le domaine du temps, émet une impulsion par l'intermédiaire d'une boucle horizontale qui est tracée derrière et sous l'hélicoptère au moyen d'un câble. Les réponses de conducteurs enroulés dans le sol sont enregistrées au moyen d'un récepteur à trois axes (x, y et z), positionné le long du même câble, entre l'hélicoptère et la boucle émettrice, au-dessus et au-dessous de l'émetteur. Le système EM enregistre l'information des trois composantes en 20 canaux au taux de quatre échantillons par seconde à partir de la valeur du champ-B magnétique est dérivée numériquement par intégration. Le système fut opéré avec une fréquence de base de 90 Hz.

CARTE DE LA COMPOSANTE RÉSIDUELLE DU CHAMP MAGNÉTIQUE
Les données magnétiques furent corrigées pour les variations diurnes, nivelées aux lignes de contrôles et interpolées selon une maille régulière de 50 m de côté en utilisant l'algorithme de la courbure minimum. Le champ de référence géomagnétique international (IGRF) a été soustrait du champ magnétique total en utilisant le modèle de l'an 2005 extrapolé à 2009.0 et calculé à l'altitude constante de 1608 m.

CONDUCTANCE APPARENTE
Les valeurs de la conductance apparente sont calculées à partir des 20 canaux (pendant l'impulsion et le temps mort) de la composante en Z, ajustées à un modèle de couches minces. L'algorithme convertit d'abord la réponse de chacun des canaux (pendant l'impulsion et le temps mort) en une conductance apparente. Ceci est fait à l'aide d'un tableau contenant les réponses pour une gamme de conductances et de hauteurs altimétriques. Les réponses individuelles des canaux sont ensuite moyennées proportionnellement à l'épaisseur de peau calculée pour chacun des canaux.

CONSTANTE DE TEMPS EM
Les valeurs des constantes de temps sont calculées en ajustant une fonction exponentielle décroissante à l'amplitude des composantes dBdI en Z des canaux 08 à 20 (288 à 2995 us). Sur un graphique semi-logarithmique, la pente de cette fonction est l'inverse de la constante de temps et reflète donc l'intensité de la conductivité. Un taux de décroissance lent, indiquant une forte conductivité, résulte en une constante de temps élevée.

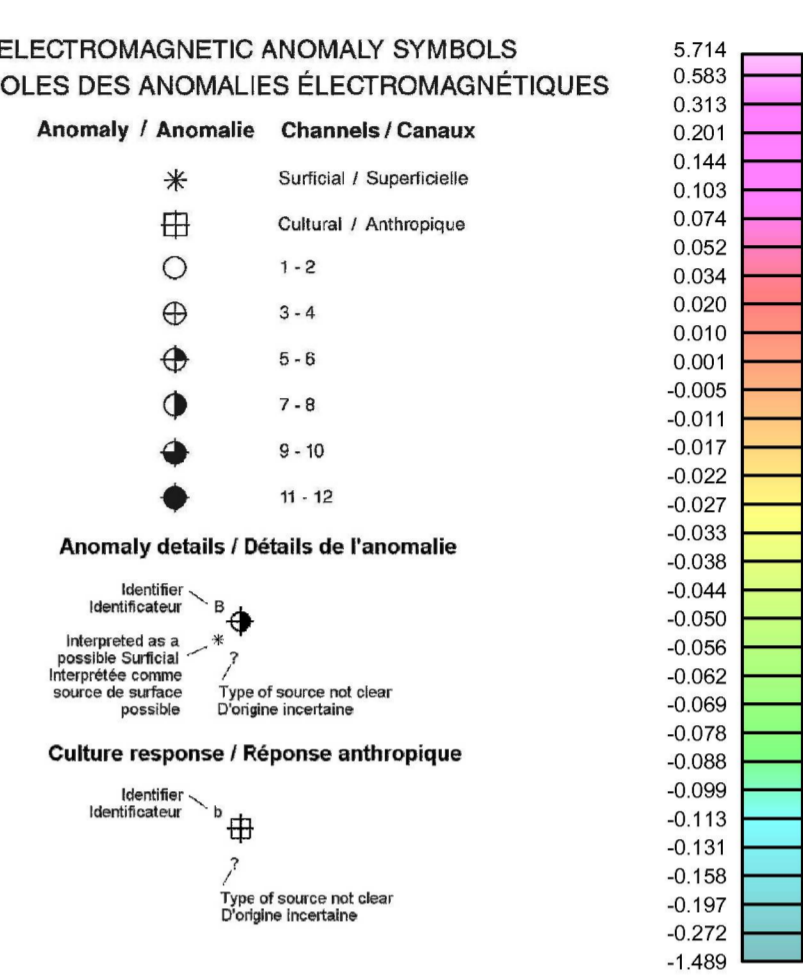
Les valeurs des constantes de temps furent ensuite interpolées sur une grille carrée de 50 m par l'algorithme d'interpolation Akima. La grille a été corrigée pour l'asymétrie du système afin de minimiser le décalage des réponses d'une ligne à l'autre. Cette asymétrie est typique des réponses obtenues au-dessus des corps horizontaux, avec les systèmes électromagnétique à oiseau remorqué opérant dans le domaine du temps.

DÉRIVÉE PREMIÈRE VERTICALE DU CHAMP MAGNÉTIQUE
La dérivée première verticale du champ magnétique a été calculée par transformée rapide de Fourier sur une grille du champ magnétique total dont la maille était de 50 m de côté.

ANOMALIES EM
Les anomalies EM identifiées sur la carte correspondent à l'appogé de la réponse mesurée par la bobine en Z de la composante dBdI. Le codage des symboles reflète le nombre de canaux détectés (basé sur les 12 derniers canaux de la période du temps-mort). Le lecteur est avisé que, dépendant de l'altitude de la source conductrice, le sommet de la réponse tel qu'illustré ne représente pas nécessairement la position de l'axe du conducteur.

Le système HeiGeOTEEM® répond aux motifs terrains conducteurs, aux couches conductrices horizontales près de la surface, aux conducteurs anthropiques et aux conducteurs du socle rocheux. L'identification des conducteurs d'origine naturelle est basée sur le taux de décroissance des impulsions, les corrélations magnétiques et la forme de la réponse, conjointement avec la distribution des réponses et la topographie. Les réponses causées par des conducteurs anthropiques sont identifiables par le moniteur de lignes de transmissions et la vidéo du vol.

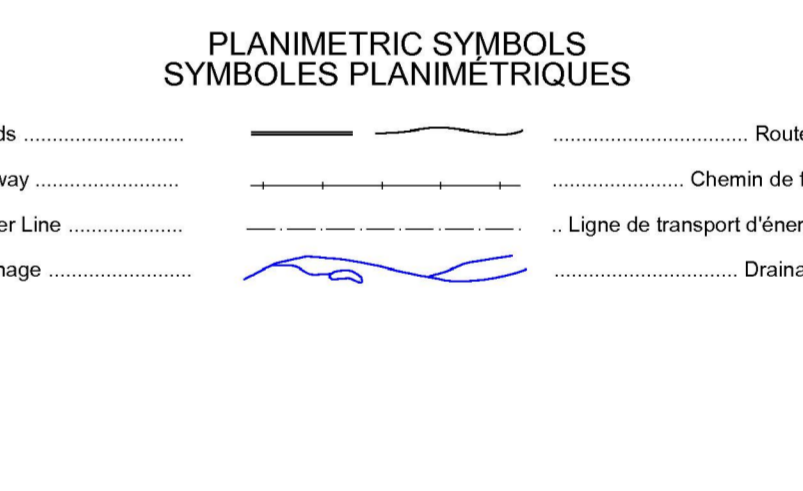
CARACTÉRISTIQUES DU SYSTÈME EM
HeiGeOTEEM®
Fréquence (Hz) 90
Moment max. du dipôle (Am²) 0,571 x 10³
Largeur de l'impulsion (us) 1997
Temps mort (us) 3483
Répétition de l'impulsion (s⁻¹) 180



HeiGeOTEEM® Survey of Kootenay Arc / Levé HeiGeOTEEM® de Kootenay Arc

Recommended citation:
Dumont, R., 2010.
First vertical derivative of the magnetic field, HeiGeOTEEM® Survey of Kootenay Arc, Parts of NTS 82 F/3, 82 F/4, 82 F/5, 82 F/6, British Columbia, Geological Survey of Canada, Open File 6199, Scale 1:50 000.

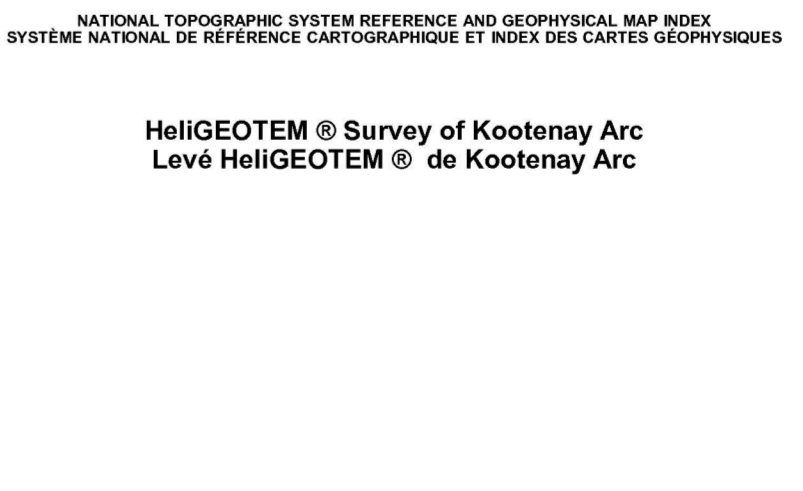
Nationales bibliographiques conseillées:
Dumont, R., 2010.
Première dérivée verticale du champ magnétique, conductivité d'origine naturelle est basée sur le taux de décroissance des impulsions, les corrélations magnétiques et la forme de la réponse, conjointement avec la distribution des réponses et la topographie. Les réponses causées par des conducteurs anthropiques sont identifiables par le moniteur de lignes de transmissions et la vidéo du vol.
Echelle 1:50 000.



HeiGeOTEEM® Survey of Kootenay Arc / Levé HeiGeOTEEM® de Kootenay Arc

Recommended citation:
Dumont, R., 2010.
First vertical derivative of the magnetic field, HeiGeOTEEM® Survey of Kootenay Arc, Parts of NTS 82 F/3, 82 F/4, 82 F/5, 82 F/6, British Columbia, Geological Survey of Canada, Open File 6199, Scale 1:50 000.

Nationales bibliographiques conseillées:
Dumont, R., 2010.
Première dérivée verticale du champ magnétique, conductivité d'origine naturelle est basée sur le taux de décroissance des impulsions, les corrélations magnétiques et la forme de la réponse, conjointement avec la distribution des réponses et la topographie. Les réponses causées par des conducteurs anthropiques sont identifiables par le moniteur de lignes de transmissions et la vidéo du vol.
Echelle 1:50 000.



HeiGeOTEEM® Survey of Kootenay Arc / Levé HeiGeOTEEM® de Kootenay Arc

Recommended citation:
Dumont, R., 2010.
First vertical derivative of the magnetic field, HeiGeOTEEM® Survey of Kootenay Arc, Parts of NTS 82 F/3, 82 F/4, 82 F/5, 82 F/6, British Columbia, Geological Survey of Canada, Open File 6199, Scale 1:50 000.

Nationales bibliographiques conseillées:
Dumont, R., 2010.
Première dérivée verticale du champ magnétique, conductivité d'origine naturelle est basée sur le taux de décroissance des impulsions, les corrélations magnétiques et la forme de la réponse, conjointement avec la distribution des réponses et la topographie. Les réponses causées par des conducteurs anthropiques sont identifiables par le moniteur de lignes de transmissions et la vidéo du vol.
Echelle 1:50 000.